

# بررسی کارآیی یک روش نهان نگاری تصویر مبتنی بر چرخش در حوزه تبدیل موجک

عزیزاله جمشیدی<sup>۱</sup>، سجاد طباطبائی<sup>۲</sup>، محمدعلی اخاءی<sup>۳</sup>

۱- مریم، گروه برق دانشگاه آزاد اسلامی واحد ماهشهر، jamshidi801@gmail.com

۲- مریم، گروه برق دانشگاه آزاد اسلامی واحد ماهشهر، sdtabatabee@yahoo.com

۳- دانشجوی دکتری برق، دانشگاه صنعتی شریف، akhaiee@yahoo.com

## چکیده

در این مقاله یک روش جدید کور مبتنی بر چرخش برای پنهان نگاری در حوزه تبدیل موجک پیشنهاد شده است. مهمترین ویژگی این روش بهینه بودن گیرنده در حضور نویز سفید گوسی و نیز پایداری آن نسبت به حمله بپره می باشد. به این منظور یک متغیر پایدار در برابر بپره معرفی شده است وتابع توزیع آن بکمک ریاضی محاسبه گردیده است. با داشتن تابع توزیع تجمعی گیرنده بهینه در برابر نویز به کمک الگوریتم بیشینه همانندی طراحی و پیاده‌سازی شده است. عملکرد این گیرنده مورد تحلیل قرار گرفته و احتمال خطای آن به صورت دقیق محاسبه شده است. برای درج بیشترین مقدار نهان نگاره از الگوریتم بهینه‌سازی چند هدفه استفاده شده است. به این منظور مصالحه مناسبی بین احتمال خطای الگوریتم و شفافیت نهان نگاره که توسط پارامتر اندیس کیفیت ارزیابی می شود برقرار شده است. برای ارزیابی صحت مدل پیشنهادی و نیز احتمال خطای تحلیلی، روش بر روی سیگنال گوسی مصنوعی شبیه‌سازی شده است و سپس الگوریتم بر روی سیگنال‌های تصویر آزموده شده‌اند. نتایج شبیه‌سازی بر روی سیگنال‌های مصنوعی حاکی از درستی روابط ریاضی منتج شده و صحت مدل بکار برده شده می باشد. همچنین نتایج تجربی بر روی تصاویر بسیار خوب الگوریتم نهان نگاری معرفی شده در برابر حملات متداول نظری نویز، فشرده‌سازی JPEG، و بپره خبر می دهد. همچنین در شرایط برابر از نظر نرخ درج و شفافیت، روش پیشنهادی پایداری بهتری نسبت به روش‌های گذشته دارد.

## واژه‌های کلیدی

نهان نگاری مبتنی بر چرخش، تبدیل موجک، گیرنده بیشینه همانندی، بهینه‌سازی چندهدفه، تحلیل عملکرد.

## ۱- مقدمه

می‌تواند مشکلات جدی برای مؤلفانی که نمی‌خواهند آثارشان بدون اجازه خودشان پخش شود ایجاد کند. به همین دلیل حفاظت از اطلاعات دارای حق کپی امری ضروری است. یکی از بهترین روش‌ها برای پاسخ گویی به مشکلات فوق نهان نگاری می‌باشد که دارای کاربردهای زیادی از جمله مخابرات مخفی، زمان‌بندی پخش

با گسترش روزافزون اینترنت به عنوان محیطی برای انتقال سریع و آسان انواع اطلاعات (صوتی، تصویری، فیلم و غیره) این امکان برای افرادی که خواستار به اشتراک گذاشتن اطلاعات خود هستند به وجود آمده است. با وجود مزایای آن، این گونه انتقال اطلاعات

QIM را زایل می‌کند. همچنین پایداری روش AQIM به خوبی QIM نمی‌باشد. روش RDM نواقص ذکر شده را تا حد خوبی مرتفع کرده است اما در روش آنها تابع نرم p به صورت دلخواه انتخاب شده است. این موضوع مقاومت الگوریتم را تا حدی تحت الشاعع قرار داده است. لذا ما به دنبال روشی هستیم که علاوه بر امنیت پایداری بالایی نیز داشته باشد و در برابر حمله به طور کامل مقاوم باشد. تابع گیرنده نیز با توجه به نظریه بیشینه همانندی انتخاب گردد تا بیشترین پایداری نسبت به نویز سفید گوسی حاصل گردد.

در این مقاله ما یک روش کور برپایه روش [۱۸] در حوزه تبدیل موجک پیشنهاد می‌کنیم. روش ما در واقع بهبود و تعمیم روش [۱۸] می‌باشد. به این منظور تصویر به بلوک‌های غیرهمپوشان تقسیم شده و از هر بلوک تبدیل موجک گرفته می‌شود. نمونه‌های شامل فرکانس‌های پایین برمبنای یک کلید محرمانه در کنار یکدیگر قرار می‌گیرند و هر چهار نمونه تشکیل یک پاره خط را می‌دهند. عمل درج نهان نگاره با عوض کردن شبی این پاره خط‌ها صورت می‌پذیرد. تابع توزیع شبی پاره خط محاسبه گردیده و به کمک گیرنده بیشینه شباهت عمل آشکارسازی صورت می‌پذیرد. یکی از کارهایی که به عنوان تعمیم روش [۱۸] صورت پذیرفته محاسبه احتمال خطای سیستم به صورت دقیق است که شبیه‌سازی‌ها بر روی سیگنال مصنوعی گوسی آن را تأیید می‌کند. همچنین به منظور رعایت مصالحه میان شفافیت نهان نگاره و پایداری آن در برابر حملات از الگوریتم بهینه‌سازی چنددهدفه استفاده شده است. این در حالی است که در روش [۱۸] اندازه زاویه یک مقدار ثابت انتخاب شده است. در این حالت میزان شفافیت به روش اندیس کیفیت تصویر [۱۹] به صورت خودکار محاسبه شده و پایداری نیز به کمک روابط احتمال خطای منتج شده محاسبه می‌گردد. با این کار روش معرفی شده مقاومت بسیار بالایی در برابر حملات متداول دارد.

بقیه مقاله به شرح زیر است. ابتدا مدل سیستم پیشنهادی در بخش دو مورد ارزیابی قرار می‌گیرد. در بخش سوم به بررسی روش پیشنهادی می‌پردازیم و گیرنده آن را مورد بحث قرار می‌دهیم. عملکرد الگوریتم در بخش چهارم مورد تحلیل و بررسی قرار می‌گیرد. در بخش پنجم مسده بهینه‌سازی شفافیت و پایداری نهان نگاره را ارزیابی می‌کنیم. نتایج شبیه‌سازی هم بر روی سیگنال مصنوعی و هم بر روی تصاویر طبیعی در فصل ششم به نمایش در می‌آیند. فصل هفتم متعلق به نتیجه‌گیری و کارهای آینده است.

برنامه‌ها، اثبات مالکیت و غیره است [۱]-[۴]. نهان نگاری روشی است که در آن اطلاعات مالک (سیگنال الگو یا نهان‌شونده) به گونه‌ای نامحسوس در سیگنال اصلی یا میزبان نهان می‌شود و به این صورت سیگنال الگوگذاری شده یا نهان نگاری شده ایجاد می‌شود. این نهان کردن الگو نباید باعث کاهش کیفیت اطلاعات اصلی شود. به اقتضای کاربرد نهان نگاری به صورت‌های مقاوم، نیمه‌شکننده و شکننده انجام می‌پذیرد [۳]. در این میان کاربردهای روش‌های مقاوم از مابقی بیشتر است. همچنین از نقطه نظر آشکارسازی روش‌های نهان نگاری به سه گونه کور، نیمه کور و بینا تقسیم می‌شوند [۴]. در سیستم‌های کور نیازی به سیگنال تمیز برای آشکارسازی نیست در حالی که در نیمه کور و بینا به بخشی یا کل سیگنال تمیز احتیاج است.

یکی از مهمترین حملات که در کانال مخابراتی بوفور اتفاق می‌افتد حمله بهره است. در ساده‌ترین مدل‌های کانال این پدیده قابل مشاهده است. بسیاری از روش‌های متقاضی نظریه بیت کم ارزش (LSB) [۵]-[۶]، کوانتیزاسیون اندیس مدولاسیون (QIM) [۷]-[۹]، روش دو تکه (Patchwork) [۱۰]-[۱۱] و غیره در برابر این حمله ناتوانند. معرفی تبدیل یا حوزه‌ای که در برابر بهره بی‌تعییر باشد از چالش‌های مسأله نهان نگاری است که تاکنون بسیاری به بررسی آن پرداختند [۱۲]-[۱۷]. کلیه روش‌های پیشنهادی به چهار دسته مهم تقسیم می‌شوند. ۱- استفاده از پیشرو در سیگنال نهان نگاری شده [۱۲]. در این حالت در فواصل معین سیگنال‌های از پیش تعیین قرار داده می‌شوند و با بررسی آنها در گیرنده میزان بهره تخمین زده شده و جبران می‌گردد. ۲- استفاده از کدهای مخروطی [۱۳] با گیرندهای منطبق بر شباهت [۱۴]. در این حالت از کدهایی استفاده می‌گردد که بخاطر ساختار مخروطی که دارند نسبت به بهره با هر ضریبی ثابت هستند. ۳- استفاده از کوانتیزاسیون زاویه‌ای (AQIM) [۱۵]-[۱۶]. در این حالت الگوریتم کوانتیزاسیون اندیس مدولاسیون بر روی زاویه حاصل از دو نمونه (مثلاً مجاور) در یک حوزه خاص صورت می‌پذیرد. ۴- معرفی یک تابع تقسیمی مبتنی بر تابع نرم p و اعمال روش‌های مبتنی بر کوانتیزاسیون بر روی این تابع. این روش به لرزش مدولاسیون تقسیمی معروف است (RDM) [۱۷].

راه حل اول امنیت الگوریتم را بهشت کاهش می‌دهد. اساس نهان نگاری این است که دشمن متوجه هیچ چیز مشکوکی در سیگنال ارسالی نشود. وجود سیگنال پیشرو شک دشمن را بر می‌انگیزد. اگرچه روش دوم و سوم امنیت را حفظ می‌کنند، اما پیچیدگی محاسباتی بالایی را به روش‌های مبتنی بر کوانتیزاسیون تحمیل می‌کنند به گونه‌ای که سادگی فرستنده و گیرنده در طرح

$$f_c(c) = \frac{1}{2\pi\sigma_a\sigma_b\sqrt{1-r^2}} \int_0^\infty b e^{-\frac{b^2}{2\sigma_0^2}} db \quad (6)$$

$$= \frac{\sigma_0^2}{\pi\sigma_a\sigma_b\sqrt{1-r^2}}$$

که در آن  $\sigma_0^2 = \frac{1-r^2}{(c/\sigma_a)^2 - (2rc/\sigma_a\sigma_b) + (1/\sigma_b^2)}$  است.  
درنتیجه:

$$f_c(c) = \frac{1}{\pi} \frac{\sigma_a\sigma_b\sqrt{1-r^2}}{\sigma_b^2(c - \frac{r\sigma_a}{\sigma_b})^2 + \sigma_a^2(1-r^2)} \quad (7)$$

همچنین تابع توزیع تجمعی آن به صورت زیر قابل محاسبه است.

$$F_c(c) = \frac{1}{2} + \frac{1}{\pi} \tan^{-1} \frac{\sigma_b c - r\sigma_a}{\sigma_a \sqrt{1-r^2}} \quad (8)$$

از این تابع توزیع تجمعی در ادامه برای بدست آوردن گیرنده بهینه و احتمال خطای آن استفاده خواهیم کرد.

### ۳- روش پیشنهادی مبتنی بر چرخش

#### ۳-۱- درج نهان‌نگاره

برای درج نهان‌نگاره در تصویر، سیگنال میزبان به بلوک‌های مساوی و غیرهمپوشان تقسیم می‌گردد. در هر یک از این بلوک‌ها یک بیت پیغام مخفی نهان می‌گردد. در واقع هر یک از این بلوک‌ها حامل‌های ما در سیستم پنهان‌نگاری مذکور هستند. در هر بلوک ما چهار ضریب تقریب تبدیل موجک آنرا انتخاب می‌کنیم. به این منظور به هر بلوک تبدیل موجک دو بعدی اعمال می‌گردد. پس از بدست آوردن چهار ضریب تقریب اندیس آنها به صورت تصادفی انتخاب می‌گردد و به وسیله یک کانال امن به گیرنده ارسال می‌شود. این کار برای بالا بردن امنیت انجام شده است. به عبارت دیگر به چهار نمونه بدست آمده! ۴! اندیس می‌توان اختصاص داد. به کمک کلید رمز در هر بلوک ما یکی از این ۲۴ حالت ممکن را انتخاب می‌کنیم.

حال فرض کنید اندیس‌ها اختصاص یافته و بردار  $u=[u_1, u_2, u_3, u_4]$  انتخاب گردیده‌اند. همان‌طور که در مدل بیان شد  $[u_1, u_2] = p = [u_3, u_4]$  و  $[u_1, u_2] = q = [u_3, u_4]$  در فضای دو بعدی هستند. شکل (۱) این دو نقطه را بر خط فاصل بین آنها را نشان می‌دهد.

### ۴- مدل سیگنال پیشنهادی

در اینجا مدل سیستمی را که برای نهان‌نگاری مورد استفاده قرار می‌گیرد توضیح داده می‌شود. ما فرض می‌کنیم که یک سیگنال تصادفی گوسی با میانگین صفر و واریانس  $\sigma^2$  داریم. در هر سناریو چهار نمونه از سیگنال مورد نظر (سیگنال میزبان) مورد استفاده قرار می‌گیرد. این چهار نمونه به صورت  $u=[u_1, u_2, u_3, u_4]$  نمایش داده می‌شوند. ما این چهار نمونه را به دو زوج نمونه  $p=[u_1, u_2]$  و  $q=[u_3, u_4]$  در یک فضای دو بعدی تقسیم می‌کنیم. شبیه خطی که این دو نقطه را بهم وصل می‌نماید به صورت زیر بیان می‌شود.

$$c = \frac{u_4 - u_2}{u_3 - u_1} \quad (1)$$

اگر صورت و مخرج رابطه بالا را به صورت  $a$  و  $b$  نشان دهیم خواهیم داشت  $a, b \sim N(0, 2\sigma^2)$ . برای حالتی که  $a$  و  $b$  مستقل هستند پارامتر  $c$  که حاصل تقسیم دو مولفه گوسی با میانگین صفر و مستقل از هم می‌باشد با توزیع گوسی به صورت زیر قابل بیان است:

$$f_c(c) = \frac{1}{\pi} \frac{\frac{\sigma_a}{\sigma_b}}{c^2 + \left(\frac{\sigma_a}{\sigma_b}\right)^2} \quad (2)$$

در حالتی که دو متغیر گوسی دارای همبستگی باشند تابع توزیع مشترک آن به صورت زیر است:

$$f_{ab}(a, b) = \frac{1}{2\pi\sigma_a\sigma_b\sqrt{1-r^2}} e^{-\frac{1}{2(1-r^2)} \left(\frac{a^2}{\sigma_a^2} - \frac{2rab}{\sigma_a\sigma_b} + \frac{b^2}{\sigma_b^2}\right)} \quad (3)$$

بنابراین تابع توزیع تجمعی  $c$  به صورت:

$$\begin{aligned} F_c(c) &= P\left\{\frac{a}{b} \leq c\right\} \\ &= P\{a \leq bc, b \geq 0\} \\ &= \int_0^\infty \int_{-\infty}^{bc} f_{ab}(a, b) da db \\ &\quad + \int_{-\infty}^0 \int_{bc}^0 f_{ab}(a, b) da db \end{aligned} \quad (4)$$

بنابراین تابع چگالی احتمال آن به صورت:

$$f_c(c) = F'_c(c) = \int_{-\infty}^{+\infty} |b| f_{ab}(bc, b) db \quad (5)$$

با جایگزینی (۴) در (۵) و درنظرگرفتن این نکته که تابع  $f_{ab}(a, b)$  نسبت به  $a$  و  $b$  زوج است داریم:

ساده‌سازی راه حل به صورت زیر خلاصه می‌گردد.

$$\begin{aligned} p_{\perp} &= \begin{pmatrix} u'_1 + ku'_2 \\ \frac{k^2+1}{k^2+1} \end{pmatrix}, \\ q_{\perp} &= \begin{pmatrix} u'_3 + ku'_4 \\ \frac{k^2+1}{k^2+1} \end{pmatrix} \end{aligned} \quad (11)$$

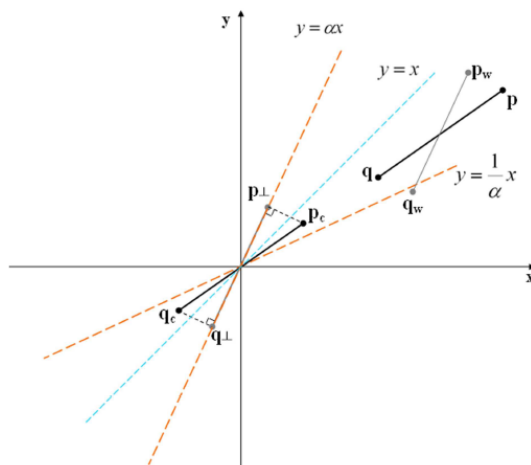
در قدم آخر تنها کافی است تا ما پاره خط تصویر شده را به محل اولش انتقال دهیم. درنتیجه مجموعه نقاط جدید  $p_w = [u''_1, u''_2]$  و  $q_w = [u''_3, u''_4]$  بعد از انتقال حاصل می‌گردد.

$$\begin{aligned} p_w &= \begin{pmatrix} u''_1 \\ u''_2 \end{pmatrix} = \begin{pmatrix} \frac{u'_1 + ku'_2 + u_1 + u_3}{2} \\ \frac{ku'_1 + k^2 u'_2 + u_2 + u_4}{2} \end{pmatrix} \\ q_w &= \begin{pmatrix} u''_3 \\ u''_4 \end{pmatrix} = \begin{pmatrix} \frac{u'_3 + ku'_4 + u_1 + u_3}{2} \\ \frac{ku'_3 + k^2 u'_4 + u_2 + u_4}{2} \end{pmatrix} \end{aligned} \quad (12)$$

بنابراین با جای‌گذاری (۹) در (۱۲) کل روند به صورت زیر قابل بیان است. که در آن  $T(k)$  یک ماتریس تبدیل است.

$$\begin{pmatrix} u''_1 \\ u''_2 \\ u''_3 \\ u''_4 \end{pmatrix} = T(k) \begin{pmatrix} u_1 \\ u_2 \\ u_3 \\ u_4 \end{pmatrix} \quad (13)$$

$$T(k) = \frac{1}{2k^2 + 2} \times \begin{pmatrix} k^2 + 2 & k & k^2 & -k \\ k & 2k^2 + 1 & -k & 1 \\ k^2 & -k & k^2 + 2 & k \\ -k & 1 & k & 2k^2 + 1 \end{pmatrix} \quad (14)$$



شکل ۱- تصویر مراحل درج نهان نگاره بكمک چرخش نقاط

فرض می‌کنیم زاویه شیب این خط  $\theta$  باشد. نقطه وسط این پاره خط در نقطه  $\left[ \frac{u_1 + u_3}{2}, \frac{u_2 + u_4}{2} \right]$  قرار دارد. اگر ما این پاره خط را به نقطه مبدأ منتقل کنیم به دو نقطه جدید  $p_c$  و  $q_c$  مرسیم. منظور از  $p_c$  و  $q_c$  نقاط مرکزی شده اند که به صورت زیر قابل بیان هستند.

$$p_c = \begin{pmatrix} u'_1 \\ u'_2 \end{pmatrix} = \begin{pmatrix} \frac{u_1 - u_3}{2} \\ \frac{u_2 - u_4}{2} \end{pmatrix}, q_c = \begin{pmatrix} u'_3 \\ u'_4 \end{pmatrix} = \begin{pmatrix} \frac{u_3 - u_1}{2} \\ \frac{u_4 - u_2}{2} \end{pmatrix} \quad (9)$$

حال برای درج نهان نگاره ما این پاره خط را بر روی دو خط  $L_0$  و  $L_1$  تصویر می‌کنیم بر حسب این که چه بیتی نهان شده باشد. درنتیجه پاره خط مرکزی شده بعد از درج صفر روی خط  $L_0$  و بعد از درج یک روی خط  $L_1$  تصویر می‌شود. شکل (۱) این فرایند را به طور ریز توضیح می‌دهد. ما به نقاط تصویر شده  $p_{\perp}$  و  $q_{\perp}$  مشابه شیب خط  $L_1$  یا  $\frac{1}{\alpha}$  یا  $\frac{1}{\alpha} - \text{انتخاب می‌گردد}.$

محل نقطه تصویر شده  $p_{\perp}$  در موقعی که بر روی یک خط دلخواه با شیب  $k$  تصویر می‌شود با تقاطع دو خط حاصل می‌شود. بدین منظور معادله زیر باید حل شود.

$$\begin{cases} y = kx \\ y - u'_2 = -\frac{1}{k}(x - u'_1) \end{cases} \quad (10)$$

و یک روند مشابه نیز برای  $q_{\perp}$  صورت می‌پذیرد. بعد از

که در آن

نگاری روی  $k$  ثابت کرده‌ایم طبق رابطه (۱۵) داریم:

$$k = \frac{u''_4 - u''_2}{u''_3 - u''_1} \Rightarrow u''_4 - u''_2 = k(u''_3 - u''_1) \quad (17)$$

بنابراین اگر تعریف کنیم  $v = u''_3 - u''_1$  می‌توان (۱۶) را به صورت زیر بازنویسی کرد.

$$v = \frac{kv + n_4 - n_2}{v + n_3 - n_1} \quad (18)$$

حال ما می‌خواهیم همبستگی بین صورت و مخرج را حساب کنیم. در واقع همان‌طور که دیده می‌شود در صورت و مخرج پارامتر  $v$  وجود دارد. لذا حتماً یک همبستگی بالا بین صورت و مخرج موجود است. برای محاسبه ابتداتابع توزیع  $v$  را باید محاسبه کنیم. با استفاده از (۱۴) و (۱۶) می‌توانیم بگوییم:

$$\begin{aligned} v &= u''_3 - u''_1 \\ &= \frac{1}{k^2 + 1}(-u_1 - ku_2 + u_3 + ku_4) \end{aligned} \quad (19)$$

از آنجا که سیگنال میزان  $u$  گوی و مستقل است پارامتر  $v$  هم متغیر گوی با میانگین صفر و واریانس  $\sigma_u^2 = \frac{2}{1+k^2}\sigma_v^2$  می‌باشد. درنتیجه تابع توزیع در متغیر تصادفی  $a$  و  $b$  به صورت  $a \sim N(0, \sigma_v^2 + 2\sigma_n^2)$  و  $b \sim N(0, k^2\sigma_v^2 + 2\sigma_n^2)$  می‌باشد. ضریب همبستگی بین  $a$  و  $b$  مطابق رابطه زیر قابل بیان است:

$$r = \frac{k\sigma_v^2}{\sqrt{(k^2\sigma_v^2 + 2\sigma_n^2)(\sigma_v^2 + 2\sigma_n^2)}} \quad (20)$$

حال ما داریم  $c = \frac{a}{b}$  که  $a$  و  $b$  دو متغیر گوسی وابسته با میانگین صفر است. مطابق بحث بخش قبل تابع توزیع متغیر  $c$  به صورت رابطه (۷) قابل بیان است.

با داشتن تابع توزیع متغیر شیب پاره خط، براحتی می‌توان گیرنده بهینه ML را برای آشکارسازی بکار برد.

$$\text{decision} = \begin{cases} 1 & f_C(c|1) - f_C(c|0) > 0 \\ 0 & f_C(c|1) - f_C(c|0) < 0 \end{cases} \quad (21)$$

که (۲۰) و  $f_c(c|0)$  به ترتیب تابع توزیع متغیر  $c$  به شرط درج بیت یک و صفر می‌باشد. در اینجا بدون از دست دادن کلیت مساله فرض می‌کنیم که متغیر  $c$  مثبت است. خواهیم دید که بحث ما در مورد  $c$  های منفی نیز درست خواهد بود. لذا داریم:

$$f_C(c) = \frac{1}{\pi} \frac{\sigma_{a||}\sigma_{b||}\sqrt{1-r_{||}^2}}{\sigma_{b||}^2(c - \frac{r_{||}\sigma_{a||}}{\sigma_{b||}})^2 + \sigma_{a||}^2(1-r_{||}^2)} \quad (22)$$

$$k = \begin{cases} \alpha & \text{for '1' embedding when } \theta \geq 0 \\ \frac{1}{\alpha} & \text{for '0' embedding when } \theta \geq 0 \\ -\alpha & \text{for '1' embedding when } \theta < 0 \\ -\frac{1}{\alpha} & \text{for '0' embedding when } \theta < 0 \end{cases} \quad (15)$$

بنابراین فرآیند درج نهان‌نگاره که در (۱۳) آمده است به راحتی قابل پیاده‌سازی است. در این تبدیل  $k$  براساس شب اولیه پاره خط  $\theta$  و بیت پیغام مخفی به صورت زیر انتخاب می‌شود، سپس از سیگنال نهان‌نگاری شده  $[u''_1, u''_2, u''_3, u''_4]$ ، بعد از آنکه اندیس آنها به حالت اول (به وسیله کلید رمز) درآمد، تبدیل معکوس موجک دو بعدی گرفته می‌شود.

## ۲-۳- استخراج نهان‌نگاره

برای استخراج نهان‌نگاره در هر بلوک ما از گیرنده بهینه استفاده می‌کنیم. فرض کنید  $y = [y_1, y_2, y_3, y_4]$  ضرایب تقریب با اندیس‌های مناسب باشند. این ضرایب آلوده به نویز جمع‌شونده سفیده شده‌اند. درنتیجه  $y = u'' + n$  که  $n \sim N(0, \sigma_n^2)$  می‌باشد. بدین معنی که متغیر تصادفی  $n$  یک متغیر تصادفی گوسی با میانگین صفر و واریانس  $\sigma_n^2$  می‌باشد.

همان‌طور که در [۲۰] نشان داده شده است ضرایب تقریب تصویر می‌توانند با دقت خوب با توزیع گوسی مدل شوند. ما از این مدل در تحلیل گیرنده بهینه خود بهره می‌بریم. همچنین فرض می‌کنیم نمونه‌ها مستقل با توزیع یکسان باشند.

از آنجاکه اعمال ماتریس  $T(k)$  یک عمل خطی است و این عملگر توزیع گوسی را گوسی نگه می‌دارد، همچنین نویز جمع‌شونده هم گوسی است، لذا سیگنال نهان‌نگاری شده بدست آمده هم گوسی خواهد بود. همچنین به دلیل استقلال نویز و نمونه‌های نهان‌نگاری شده، واریانس سیگنال دریافت شده به صورت  $\sigma_y^2 = \sigma_u^2 + \sigma_n^2$  می‌باشد.

حال از مدل معرفی شده در قسمت قبل استفاده می‌کنیم. چهار ضریب بدست آمده از سیگنال دریافتی را با  $p_r = [y_1, y_2]$  و  $q_r = [y_3, y_4]$  در یک فضای دو بعدی انتخاب کرده و شب خط واصل بین آنرا حساب می‌کنیم.

$$c = \frac{y_4 - y_2}{y_3 - y_1} = \frac{u''_4 - u''_2 + n_4 - n_2}{u''_3 - u''_1 + n_3 - n_1} \quad (16)$$

از آنجا که ما شب نقطه سیگنال میزان را بعد از اعمال نهان

$$P_e^+ = \frac{1}{2} + \left[ \tan^{-1} \frac{\sigma_b |1 - r\sigma_a|}{\sigma_a |1 - r^2|} - \tan^{-1} \frac{-\sigma_b |1 - r\sigma_a|}{\sigma_a |1 - r^2|} - \tan^{-1} \frac{\sigma_b |0 - r\sigma_a|}{\sigma_a |0 - r^2|} + \tan^{-1} \frac{-\sigma_b |0 - r\sigma_a|}{\sigma_a |0 - r^2|} \right] \quad (26)$$

که در آن  $r = r_{|0} = r_{|1}$  همان‌طور که در (۲۳) آمده است. در رابطه مذکور داریم  $\sigma_a |0 = \sigma_b |1$  و  $\sigma_a |1 = \sigma_b |0$ . بنابراین اگر تعریف کنیم  $d = \frac{\sigma_a |1}{\sigma_b |1}$ , رابطه (۲۶) به صورت زیر ساده می‌شود.

$$P_e^+ = \frac{1}{2} + \frac{1}{\pi} (\tan^{-1} \frac{d^{-1} - r}{\sqrt{1 - r^2}} + \tan^{-1} \frac{d^{-1} + r}{\sqrt{1 - r^2}} - \tan^{-1} \frac{d + r}{\sqrt{1 - r^2}} - \tan^{-1} \frac{d - r}{\sqrt{1 - r^2}}) \quad (27)$$

با یک بحث مشابه می‌بینیم که احتمال خطا هنگامی که شبیه پاره خط منفی است همانند  $P_e^+$  محاسبه می‌گردد. به عبارت دیگر  $P_e^- = P_e^+$  در نتیجه  $P_e^- = P_e^+$  در شکل (۴) نتایج محاسبات تئوری با نتایج تجربی در  $\sigma_n = 40$  مقایسه شده است. همان‌گونه که دیده می‌شود محاسبات با مشاهدات تطابق خوبی دارند. برای ارزیابی عملکرد ما از دو پارامتر نسبت توان نهان نگاره به توان نویز (WNR) و نسبت توان سیگنال میزان به توان نهان نگاره (DWR) استفاده می‌کنیم. این پارامترها به صورت زیر تعریف می‌شوند:

$$DWR = 10 \log \frac{E \{ \|x_i\|^2\}}{E \{ \|x'_i - x\|^2\}} \quad (28)$$

$$WNR = 10 \log \frac{E \{ \|x'_i - x\|^2\}}{E \{ \|v_i - x'_i\|^2\}} \quad (29)$$

در این روابط  $x$  سیگنال میزان است و  $x'$  و  $v$  به ترتیب سیگنال نهان‌نگاری شده و دریافتی بعد از کانال می‌باشند.

$$f_c(c) = \frac{1}{\pi} \frac{\sigma_{a|0} \sigma_{b|0} \sqrt{1 - r_{|0}^2}}{\sigma_{b|0}^2 (c - \frac{r_{|0} \sigma_{a|0}}{\sigma_{b|0}})^2 + \sigma_{a|0}^2 (1 - r_{|0}^2)} \quad (23)$$

که در آن

$$\begin{aligned} \sigma_{a|1}^2 &= \frac{2\alpha^2}{1+\alpha^2} \sigma_u^2 + 2\sigma_n^2, \quad \sigma_{b|1}^2 = \frac{2}{1+\alpha^2} \sigma_u^2 + 2\sigma_n^2, \\ \sigma_{a|0}^2 &= \frac{2}{1+\alpha^2} \sigma_u^2 + 2\sigma_n^2, \quad \sigma_{b|0}^2 = \frac{2\alpha^2}{1+\alpha^2} \sigma_u^2 + 2\sigma_n^2, \\ r_{|1} &= r_{|0} = \frac{\alpha \sigma_u^2}{\sqrt{(\alpha^2 \sigma_u^2 + (1+\alpha^2) \sigma_n^2)(\sigma_u^2 + (1+\alpha^2) \sigma_n^2)}} \end{aligned}$$

این پارامترها با جایگزینی  $k$  (رابطه ۱۴) در واریانس‌های متغیرهای  $a$  و  $b$  نیز همبستگی بین آنها ( $u$ ) بدست آمده‌اند. با قرار دادن (۲۳) و (۲۴) در رابطه (۲۱) و بعد از مقداری ساده‌سازی به راه ساده زیر می‌رسیم:

$$\text{decision} = \begin{cases} 1 & c^2 > 1 \\ 0 & c^2 < 1 \end{cases} \quad (24)$$

همان‌طور که دیده می‌شود آشکار ساز بهینه مستقل از  $\alpha$  عمل می‌کند. همچنین واضح است که برای  $c$  های منفی نیز بحث به همین گونه است. (تنها می‌بایست علامت  $v_0$  و  $v_1$  عوض شود).

## ۴-تحلیل عملکرد

در اینجا می‌خواهیم احتمال خطای سیستم پیشنهادی را در حضور نویز بدست آوریم. خطا هنگامی رخ می‌دهد که بیت یک نهان کرده باشیم و صفر آشکار شده باشد و بالعکس. با توجه به تقارن موجود در این دو نوع خطای ما به بررسی یکی از آنها می‌پردازیم. ابتدا به بررسی احتمال خطا هنگامی که شبیه پاره خط واصل (p,q) مثبت است می‌پردازیم. لذا طبق رابطه (۲۴) احتمال خطا به صورت زیر نوشته می‌شود.

$$\begin{aligned} P_e^+ &= \frac{1}{2} P(c^2 < 1 | 1) + \frac{1}{2} P(c^2 < 1 | 0) \\ &= \frac{1}{2} P(-1 < c < 1 | 1) + \frac{1}{2} P(c < -1 \text{ or } c > 1 | 0) \\ &= \frac{1}{2} \{ F_C | 1(1) - F_C | 1(-1) + 1 - F_C | 0(1) \\ &\quad + F_C | 0(-1) \} \end{aligned} \quad (25)$$

با جایگزینی  $F_c(r)$  در (۸) خواهیم داشت.

اندیس کیفیت نهایی از جمع حسابی  $Q_j$  ها مطابق با (۳۱) صورت پذیرد.

$$Q = \frac{1}{M} \sum_{j=1}^M Q_j \quad (31)$$

با این حال از آنجا که قضاوت انسان عموماً بر روی بدترین بلوک‌ها صورت می‌پذیرد یا به بیان دیگر، چشم انسان کیفیت را از بلوک‌های خراب می‌فهمد، ما تصمیم گرفتیم که از میانگین هندسی بجای میانگین حسابی استفاده کنیم. بنابراین اندیس کیفیت نهایی مطابق زیر محاسبه می‌شود.

$$Q = \left( \prod_{j=1}^M Q_j \right)^{\frac{1}{M}} \quad (32)$$

بنابراین با تعریف اندیس اندازه‌گیری کیفیت ما دوتابع هدف داریم: که  $f_D(\theta)$  بیانگر نقش  $\theta$  در مسیر اعوجاج است و به صورت  $f_D(\theta) = 1 - D(\theta)$  تعریف می‌شود و  $f_E(\theta)$ ، که بیانگر مقاومت الگوریتم است و از روی روابط احتمال خطای (۲۷) محاسبه می‌گردد.تابع  $f_D(\theta)$  یکتابع یکنوا و صعودی از  $\theta$  است. در حالی که تابع  $f_E(\theta)$  تابع نزولی اکید است. هدف ما در اینجا پیدا کردن  $\theta$  بهینه برای کمینه کردن هر دوتابع هدف است. از آنجا که این دوتابع، ماهیتاً با هم تفاوت دارند ما نمی‌توانیم آنها را به صورت وزن دار جمع کنیم. برای این منظور از روش بهینه‌سازی چنددهفه کسب هدف هدف در نظر گرفته می‌شود  $[F_1^*, F_2^*, \dots, F_m^*] = [w_1, w_2, \dots, w_m]$  و با در نظر گرفتن یکسری وزن  $w = [w_1, w_2, \dots, w_m]$  نقطه یا ناحیه بهینه بدست می‌آید. روش کسب هدف بصورت زیر بیان می‌گردد.

$$\min_{\lambda \in \mathbb{R}} \text{subject to } F_i(x) - w_i \lambda \leq F_i^*, \quad (33)$$

$i = 1, 2, \dots, m, \quad x \in \Omega$

که در آن  $\Omega$  ناحیه حصول در فضای پارامتر  $x$  و  $\lambda$  متغیر کمکی بدون علامت است. بردار وزن  $w$  در واقع طراح را قادر به برقراری مصالحه مناسب بین اهداف می‌گرداند. عبارت دیگر اگر ما بتوانیم یک هدف را با مقادیر بیشتر تحمل کنیم، وزن کمتری را به آن تخصیص می‌دهیم و بالعکس.

شکل (۲) بصورت هندسی روش کسب هدف را برای دوتابع هدف نشان می‌دهد. در این شکل  $F(\Omega)$  یک ناحیه قابل

## ۵-بهینه‌سازی زاویه چرخش

زاویه چرخش  $\theta$  که در واقع شبیه پاره خط را تعیین می‌کند، نقش اساسی در عملکرد الگوریتم پیشنهادی دارد. در واقع مقدار آن از دو دیدگاه قابل ارزیابی است. ۱- نامرئی بودن: با افزایش  $\theta$ ، اعوجاج بیشتری به سیگنال میزبان اعمال می‌گردد که ممکن است وجود نهان‌نگاره را محسوس سازد. ۲- مقاومت: با افزایش  $\theta$ ، الگوریتم در برابر حملات مختلف مقاوم‌تر خواهد بود. از آنجا که یک مصالحه بین نامرئی بودن و مقاومت وجود دارد، ما در اینجا از یک روش بهینه‌سازی چنددهفه برای تعیین مقدار مناسب  $\theta$  استفاده خواهیم کرد.

به منظور نشان دادن تأثیر  $\theta$  در میزان اعوجاج اعمالی در تصویر، ما از اندیس اندازه‌گیری کیفیت در تصویر که در [۱۹] و [۲۰] ارائه شده است بهره می‌بریم. در این رهیافت اندازه‌گیری کیفیت، هر گونه اعوجاج با درنظر گرفتن مدل بینایی انسان بر حسب سه عامل. ۱- کاهش شباهت، ۲- اعوجاج روشنایی و ۳- اعوجاجوضوح، بیان می‌شود. این مدل ارزیابی کیفیت از تمام مدل‌های ارزیابی پیشین نظری  $MSE$ ، PSNR و غیره بهتر عمل می‌کند و تطبیق بسیار خوبی با تست‌های دیداری دارد.

اگر تصویر اصلی و نهان‌نگاری شده با  $x$  و  $y$  نشان داده شوند. اندیس اندازه‌گیری کیفیت  $Q$  به صورت زیر تعریف می‌شود.

$$Q = \frac{(\hat{x}\hat{y} + C_1)(2\sigma_{xy} + C_2)}{[(\hat{x})^2 + (\hat{y})^2 + C_1](\sigma_x^2 + \sigma_y^2 + C_2)} \quad (30)$$

که در آن  $\hat{x}$ ,  $\hat{y}$ ,  $\sigma_x^2$  و  $\sigma_y^2$  به ترتیب میانگین و پراش  $x$  و  $y$  هستند. پارامترهای  $C_1$  و  $C_2$  بر طبق زیرنده:

$$C_1 = (K_1 L)^2, \quad C_2 = (K_2 L)^2$$

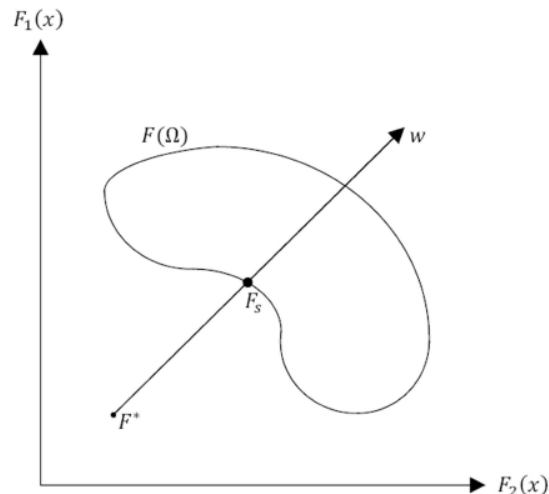
که بازه دینامیکی تغییرات نمونه‌های تصویر است (۲۵۵) برای ۸ بیت) و  $K_1, K_2 \ll 1$ . بدین معنی که این پارامترها بسیار کوچک‌تر از یک هستند. (در این کار  $K_1 = 0.01$  و  $K_2 = 0.03$  لحاظ شده است). دامنه تغییرات  $Q$  بین [-۱, ۱] است. مقدار یک تنها وقتی بدست می‌آید که مقادیر  $x_i = y_i$  برای تمام  $i$  ها باشد.

از آنجا که تصویر به طور کلی یک سیگنال غیرایستان است و کیفیت آن در جاهای مختلف متفاوت است، این کار معقول است که اندازه‌گیری به صورت محلی صورت پذیرد و سپس به صورت آماری با هم جمع شود. در [۱۹] پیشنهاد شده است که اندازه‌گیری کیفیت در بلوک‌های جدا صورت پذیرد  $Q_j$ ، و

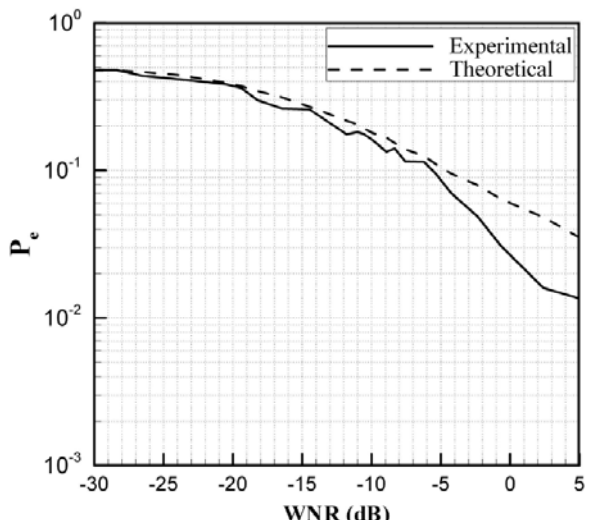
## ۶-نتایج تجربی

ما برای ارزیابی روش پیشنهادی خود آزمایش‌های بسیاری را روی تصاویر گوناگون انجام دادیم و عملکرد الگوریتم نهان‌نگاری را در برابر حملات متداول به بوته آزمایش گذاشتیم. در تجربه نخست برای تست صحت روش و نیز درستی روابط ریاضی استخراج شده، ما عملکرد روش را بر روی سیگنال مصنوعی گوسی (دقیقاً مدل فرض شده) در حضور نویز سفید گوسی آزمودیم. توان نهان‌نگاره با DWR اندازه‌گیری می‌شود ۲۲dB می‌باشد. نتایج روش برای (WNR) نویزهای مختلف که با نسبت توان نهان‌نگاره به توان نویز (WNR) سنجیده می‌شود در شکل (۴) آمده است. همچنین نتایج با روش کوانیزاسیون زاویه‌ای که در [۱۵] آمده و نیز کدهای مخروطی در [۱۴] مقایسه شده است. همان‌طور که می‌بینیم نتایج روش پیشنهادی بهتر از AQIM می‌باشد. این موضوع بهبود عملکرد طرح دورانی را به کوانیزاسیون برداری بهخوبی نشان می‌دهد.

دسترس در فضای توابع هدف است. کمترین مقدار  $\lambda$  در  $F_s$  رخ می‌دهد، جایی که بردار  $F^* + w\lambda$  مرز پایینی فضای اهداف را قطع می‌کند.

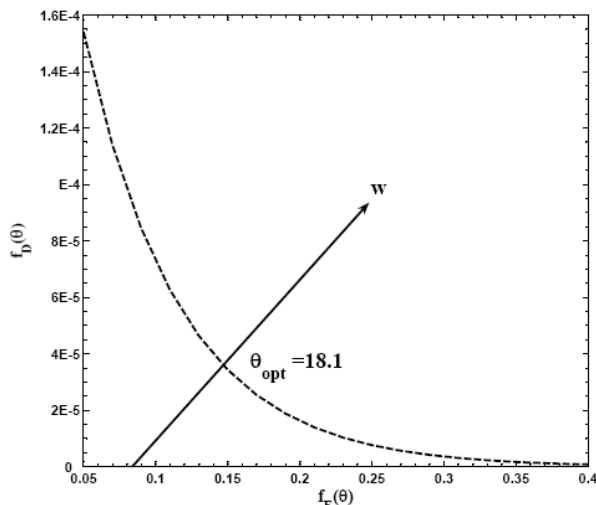


شکل ۲- روش بهینه سازی کسب هدف



شکل ۴- مقایسه احتمال خطای تئوری با نتایج تجربی در  $n=40$

حال شبیه‌سازی را برای تصاویر واقعی تصاویر انجام می‌دهیم. در این راستا از موجک با فیلترهای متقان Daubechies استفاده می‌کنیم. درجه نهان‌نگاره در سطح دوم ضرایب تقریب در هر بلوك صورت می‌پذیرد. نتایج با میانگین‌گیری روی ۵۰ اجرای مختلف صورت پذیرفته است. به این منظور تصاویر زیادی نظریه هواییم، دزد دریایی، قایق و پل با اندازه  $512 \times 512$  مورد استفاده قرار گرفته‌اند. تصاویر پاک و نهان‌نگاری شده با بلوك‌های  $16 \times 16$  که شامل مجموعاً ۱۳۸ بیت نهان‌نگاره هستند در شکل (۶)، (۷) به نمایش درآمده‌اند. همچنین زاویه  $\theta$  که در قبل معرفی شد بنا به تصویر بین



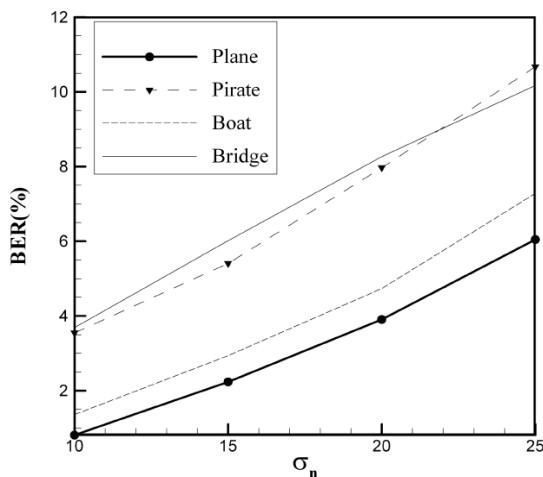
شکل ۳- پیاده سازی روش بهینه سازی کسب هدف برای بدست آوردن  $\theta$  بهینه

در شکل (۳) روش کسب هدف بر روی تصویر باربارا نشان داده شده است. در این شکل مقدار  $f_D(\theta)$  بر حسب  $f_E(\theta)$  رسم شده است در حالی که پارامتر  $\theta$  بر حسب وزن تغییر می‌کند. با توجه به این شکل دیده می‌شود که با انتخاب بردار وزن به صورت  $[0.4/0.6]$  برای  $(f_D(\theta), f_E(\theta))$ ، نقطه بهینه  $\theta = 0.181$  درجه بدست آمده است. روند مشابهی برای بدست آوردن  $\theta$  بهینه برای هر تصویر طی شده است.

همان‌گونه که مشهود است الگوریتم دوران در مقابل نویز بهشدت مقاوم است. مهمترین دلیل این مقاومت بهینه بودن الگوریتم آشکارسازی است. حمله دوم در اینجا بررسی می‌شود فشرده‌سازی بهروش JPEG است. مقاومت بالا نسبت به این حمله در این نکته نهفته است که اطلاعات نهان‌نگاری در ضرایب تقریب نهفته شده‌اند. لذا الگوریتم JPEG که عموماً روی مؤلفه‌های فرکانس بالای تصویر کار می‌کند نمی‌تواند روش پیشنهادی را تخریب کند.



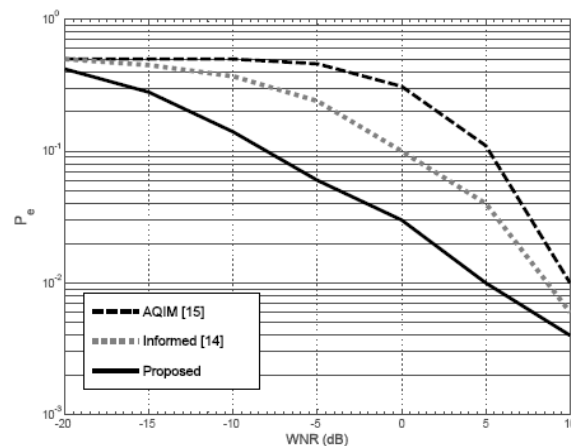
شکل ۷- چپ تصویر اصلی و راست تصویر نهان‌نگاری شده  
(تصاویر قایق و پل)



شکل ۸- حمله نویز بهازای واریانس‌های متفاوت

در حمله سوم فیلتر میانه و فیلتر گوسی بر روی الگوریتم نهان‌نگاری اعمال شده‌اند. جدول (۱) درصد احتمال خطای بیت را نشان می‌دهد که نتایج حاصل نشان‌دهنده این است که روش ارائه

۱۶ تا ۲۰ درجه انتخاب شده است. این مقادیر بر حسب رابطه بهینه‌سازی (۳۳) بدست آمده‌اند؛ به‌گونه‌ای که هم‌پایداری خوبی در برابر حملات داشته باشد و هم شفافیت نهان‌نگاره حفظ شود. همان‌طور که در شکل (۶) هویدا است، نامحسوس بودن نهان‌نگاره به‌خوبی لحاظ شده است. پارامتر بیشینه نسبت سیگنال به نویز (PSNR) در تصاویر مربوط به ترتیب ۴۰/۴۵، ۴۰/۴۰، ۳۹/۹ و ۴۰/۸ (PSNR) می‌باشد.



شکل ۵- مقایسه احتمال خطای روش پیشنهادی با روش [۱۴] و [۱۵]



شکل ۶- چپ تصویر اصلی و راست تصویر نهان‌نگاری شده  
(تصاویر هواپیما و دزد دریایی)

اولین حمله‌ای که اینجا مورد بررسی قرار می‌گیرد نویز سفید گوسی است. شکل (۸) و (۹) نتایج شبیه‌سازی را نشان می‌دهد.

[۱۵] در برابر این نوع حملات می‌باشد. در حالی که روش پیشنهادی مقاومت خود را حفظ می‌کند. در جدول (۳) نیز روش پیشنهادی با روش ارائه شده در [۲۳] مقایسه شده است. نتایج این جدول نشان می‌دهند که روش معروفی شده مقاومت بهتری نسبت به [۲۳] بعد از اعمال فیلتر میانه دارد.

جدول ۳- مقایسه روش پیشنهادی با [۲۳] بعد از اعمال فیلتر میانه  $3 \times 3$

تپه طلا	تصویر			روش
	فلفل	میمون	باربارا	
۲۵/۶۰	۲۹/۳۵	۳۱/۶۵	۲۴/۹۵	[۲۲]
۱/۹۵	۴/۲۵	۱۰/۸۸	۸/۰	پیشنهادی

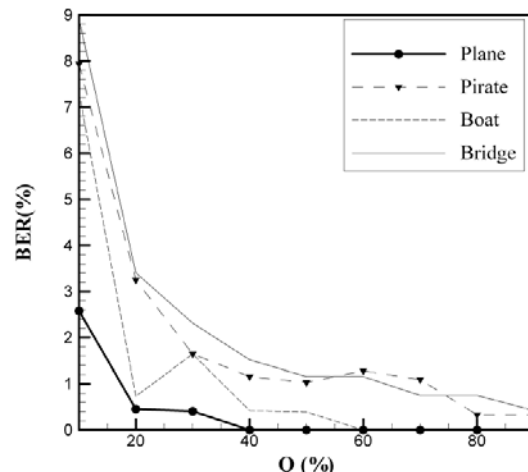
## ۷- نتیجه‌گیری

در این مقاله یک روش کور نهان‌نگاری مبتنی بر چرخش شبیب پاره خط حاصل از چهار نمونه تصادفی از ضرایب تقریب بلوک‌های غیرهمپوشان تصویر معرفی گردید و مورد تحلیل و بررسی قرار گرفت. با فرض گوسی بودن نمونه‌های تقریب تابع چگالی تجمعی و احتمال شبیب پاره خط محاسبه گردید و گیرنده بهینه در حضور نویز برای آن طراحی شد. برای بهینه بودن توان نهان‌نگاره که وابسته به میزان چرخش شبیب پاره خط داشت از روش بهینه‌سازی چنددهده استفاده شد. برای ارضای شرط شفافیت از انديس اندازه‌گيری كييفيت و برای مقاومت در برابر حملات روابط تحليلي احتمال خطأ مورد استفاده قرار گرفت. در نتيجه اين بهينه‌سازی، درج نهان نگاره در ضرایب تقریب موجک و نیز بهینه بودن گیرنده روش بسیار مقاومی پیدید آمد که بر روش‌های پیشین برتری دارد. نتایج شبیه‌سازی‌ها بهتر بودن عملکرد الگوریتم پیشنهادی را بر سایر روش‌ها تأیید می‌کند. همچنین بدليل ماهیت شبیب پاره خط که با تغییر ضریب بهره بدون تغییر باقی می‌ماند روش نسبت به حمله بهره نیز مقاوم است. کار آینده می‌تواند تعمیم عمل درج نهان نگاری به چندنشانهای (M-array) به جای باينری باشد.

## ۸- مراجع

- [1] Chun-Shien Lu; **Multimedia Security: Steganography and Digital Watermarking Techniques for Protection of Intellectual Property**, Idea Group Publishing, 1<sup>st</sup> ed., 2002

شده مقاومت بالایی نسبت به این نوع حملات دارد. دلیل این امر نیز نهان‌نگاری در ضرایب حاوی فرکانس پایین است.



شکل ۹- حمله فشرده‌سازی بازی ضریب کیفیت‌های گوناگون

جدول ۱- نتایج شبیه سازی بعد از فیلتر گوسی و میانه

تصویر	فیلتر گوسی	فیلتر میانه	فیلتر گوسی
۳×۳	۳×۳	۳×۳	۳×۳
۲/۶۹	۰/۳۹	۱/۱۹	۱/۱۹
۵/۲۲	۱/۶۶	۲/۴۱	۲/۷۷
۱۳/۱۳	۱/۷۳	۲/۳۱	۲/۶۹
۱۳/۱۴	۱/۱۱	۲/۶۶	۲/۸۰

درنهایت ما روش پیشنهادی را با دو روش کور و جدید مقایسه نموده‌ایم [۱۵] و [۲۳]. همان‌طور که جدول (۲) و (۳) نمایش می‌دهد الگوریتم دوران بطور محسوس دارای عملکرد بهتر از این دو روش است.

جدول ۲- مقایسه روش پیشنهادی با [۱۵] در حضور نویز

روش	۷	۶	۵	۴	۳	۲	۱
[۱۵]	۴۴/۰	۲۵/۰	۱۵/۰	۴/۰	۳/۰	۲/۰	۱/۰
پیشنهادی	۱/۰۵	۱/۲۵	۰/۴۳	۰/۱۲	۰/۱۲	۰/۰	۰/۰

چنان‌که دیده می‌شود با افزایش نویز روش [۱۵] دچار شکست می‌گردد به عبارتی احتمال خطای بیت به سمت ۵۰ درصد میل می‌کند که این موضوع نشان‌دهنده شکست الگوریتم ارائه شده در

- [15] C. Chen, X. Wu; “**An Angel QIM Watermarking Based on Watson Perceptual Model**,” in Proc. International Conference on Image and Graphics, Chengdu, Sichuan, China, 2007.
- [16] F. Ourique, F. Perez-Gonzalez; “**Angel QIM: A Novel Watermarking Embedding Scheme Robust Against Amplitude Scaling Distortion**”, in Proc. ICASSP 2005, Vol.2, No. 1, pp. 797 - 800, 2005.
- [17] F. Perz-Gonzalez, C. Mosquera, M. Barni, A. Abrado; “**Rational Dither Modulation: A High Rate Rata-Hiding Method Invariant to Gain Attacks**”, IEEE Trams. Signal Process. Vol. 53, No. 10, pp. 3960 - 3975, Oct 2005.
- [18] S.M.E. Saheavian, M.A. Akhaee, F. Marvasti; “**Blind Image Watermarking Based on Sample Rotation with Optimal Detector**”, Accepted in 17th European Signal Processing Conference (EUSIPCO), Glasgow, Scotland, UK, 2009.
- [19] Z. Wang, A.C. Bovik; “**Image Quality Assessment: From Error Visibility to Structural Similarity**”, IEEE Trans. on Image Process., Vol. 13, No. 4, pp. 600–612, 2004
- [20] Z. Wang, A.C. Bovik; “**A Universal Image Quality Index**”, IEEE Signal Processing Letters, Vol. 9, No. 3, pp. 81 – 84, 2002.
- [21] M.A. Akhaee, S.M.E. Sahraeian, B. Sankur, F. Marvasti; “**Robust Scaling Based Image Watermarking Using Maximum Likelihood Decoder with Optimum Strength Factor**”, IEEE Trans. on Multimedia, Vol. 11, No.4, pp. 431 - 444, Aug 2009
- [22] F. Gembicki , Y. Haimes; “**Approach to Performance and Sensitivity Multiobjective Optimization: The Goal Attainment Method**”, IEEE Transactions on Automatic control, Vol. 20, No. 6, pp. 769 - 771, 1975.
- [23] Y. Wang, J.F. Doherty, R.E. Van Dyck; “**A Wavelet-Based Watermarking Algorithm for Ownership Verification of Digital Images**”, IEEE Transactions on Image Processing, Vol. 11, No. 2, pp. 77 – 88, 2002.
- [2] F.A.P. Petitcolas, R.J. Anderson, M.G. Kuhn; “**Information Hiding—A Survey**”, Proc. IEEE, Vol. 87, No. 7, pp. 1062–1078, 1999.
- [3] I.J. Cox, M.L. Miller, J.A. Bloom; **Digital Watermarking** (1st Ed.). San Francisco: Morgan Kaufmann, 2002.
- [4] J. Seitz; **Digital Watermarking for Digital Media**, Information Science Publishing, 1<sup>st</sup> ed., 2005.
- [5] A. Ker; **Improved Detection of LSB Steganography in Grayscale Images**, in Proc. Information Hiding Workshop 3200, Springer LNCS, pp. 97 – 115, 2004.
- [6] J.Mielikainen, “**LSB Matching Revisited**”, IEEE signal processing letters, Vol. 13, No. 5, pp. 285-287, May 2006.
- [7] B. Chen, G. Wornell; “**Quantization Index Modulation: A Class of Provably Good Methods for Digital Watermarking and Information Embedding**”, IEEE Trans. Inf. Theory, Vol. 47, No. 4, pp. 1423 - 1443, May 2001.
- [8] J. J. Eggers, R. Bauml, R. Tzschope, B. Girod; “**Scalar Costa Scheme for Information Embedding**”, IEEE Trans. Signal Process., Vol. 4, No. 51, pp. 1003 - 1019, Apr. 2003.
- [9] Q. Zhang, N. Boston; “**Quantization Index Modulation Using E8 Lattice**”, in Proc. 41th Annual Allerton Conf. on Communication, Control and Computing, Allerton, IL, USA, 2003.
- [10] K. Yeo, H. J. Kim; “**Modified Patchwork Algorithm: A Novel Audio Watermarking Scheme**”, IEEE Trans. Speech Audio Process., Vol. 11, No. 4, pp. 381 – 386, Jul 2003
- [11] K. Yeo, H.J. Kim; “**Generalized Patchwork Algorithm for Image Watermarking**”, Multimedia Syst. Vol. 9, No. 3, pp. 261 - 265, 2003
- [12] J.J. Eggers, R. Bauml, B. Girod; “**Estimation of Amplitude Modifications Before SCS Watermark Detection**”, in Proc. SPIE Security Multimedia Content P. W. Wong and E. J. Delp, Eds. San Jose, CA, Vol. 4675, No. 1, pp. 387 - 398, Jan 2002
- [13] J.H. Conway, N.J.A. Sloane; **Sphere Packing, Lattices, and Groups**, New York: Springer-Verlag, 2<sup>nd</sup> ed., 1999
- [14] M.L. Miller, G.J. Doerr, I. J. Cox; “**Applying Informed Coding and Embedding to Design Robust, High Capacity, Watermark**”, IEEE Trans. Image Process., Vol. 13, No. 16, pp. 792 - 807, June 2004.